

## Identification of Phase Transformations During Heating and Cooling for High Iron Chromium Alloy by Dilatometric Method

Dr. Hassan Shakir Majdi 

College of Al-Mustaqlal/ Babel.

Email:mustabsl c@yahoo

Dr. Khidhair Jasim Mohammed

College of Al-Mustaqlal/Babel.

Received on:17/11/2014 & Accepted on:8/10/2015

### ABSTRACT

The phase transformations occur in metals and alloys involves important changes in microstructures according to chemical composition and kinetic of transformations in alloy ,this work deals with many operations and investigation, especially dilatometric test , which enable the achievement of important results for the aim of research.

Phase transformation points during heating and cooling by different rates (2-100) C°/min , for high CR-Fe with high Cr , using dilatometric tests . these tests showed that cooling of this alloy from (950)C° , had more than phase transformation during cooling at rate (2-50)C°/min . while only one transformation –martinsite –during cooling at a rate of (100)C°/min , as no other transformation at that low temperature . This transformation has high importance to obtain high strength, hardness and wear resistance .Those properties are useful for many applications. The phase transformation points of alloy enable the choose of heat treatment required to get the suitable properties. The important results achieved by heating and cooling rates were indication of phase transformation and the time periods of those transformations .

### تحديد نقاط التحول الطوري عند التسخين والتبريد لسيكة الحديد عالية الكروم بطريقة التمدد

#### الخلاصة :

إن التحول الطوري في المعادن والسبائك يشمل تغيرات مهمة في التركيب البنوي تعتمد على تركيب السيكة الكيميائي وآلية التحول الحاصل في السيكة لذا فقد تناول هذا البحث مجموعة من العمليات والفحوصات وخاصة فحوصات التمدد التي أمكن من خلالها تحقيق نتائج مهمة تحقق أهداف البحث. فقد تم تحديد نقاط التحول الطوري عند التسخين والتبريد بمعدلات تسخين وتبريد مختلفة تراوحت بين (00-2) م°/ دقيقة لسيكة الحديد عالية الكروم باستخدام جهاز التمدد الوارد ذكره في لاحق البحث . لقد أظهرت تلك الفحوصات وما نتج منها من مخططات عديدة ، أما تبريد السيكة المذكورة من درجة حرارة (950) م° تمر بأكثر من تحول طوري في معدلات التبريد بين (2-50) م°/ دقيقة بينما يحدث تحول واحد عند التبريد بمعدل (100) م°/ دقيقة ، وهذا هو تحول مارتنسيتي لا يحدث عادة دونه تحول آخر . وللهذا التحول أهمية كبيرة لتحقيق خواص ، متانة وصلادة ومقاومة احتكاك عالية وهي صفات مطلوبة لأغراض عديدة ومهمة . إن تحديد تركيب السيكة ونقاط تحولها الطوري يضع الأساس الصحيح باختيار المعاملات الحرارية المناسبة للخواص المطلوبة . واهم نتائج البحث تم تحديد نقاط التحول الطوري باستخدام معدلات تسخين وتبريد مختلفة إضافة إلى تحديد فترات زمنية لتلك التحولات .

#### هدف البحث :-

إن هدف هذا البحث هو دراسة سلوك سيكة حديد عالية الكروم أثناء التسخين والتبريد بمعدلات مختلفة من 2- (100) م°/ دقيقة وتحديد نقاط بدايات ونهايات التحولات الطورية الحاصلة أثناء ذلك . وعلى ضوء ذلك يمكن تحديد

معدلات التبريد المناسبة للطلب الحصول على المواصفات المطلوبة في العمليات التكنولوجية اللاحقة والتي تتحقق من خلال تحول أطوار السبيكة واختلاف خواص كل طور منها ، حيث أن التبريد السريع يحقق أعلى الخواص الميكانيكية وأن التبريد البطيء يحقق خواص ، واطئة نسبياً

المقدمة.

إن التحول الطوري في الحالة الصلبة يعتمد على عدة عوامل إضافة إلى عامل الزمن ودرجة الحرارة فهو بحدث على ثلاثة مراحل:

- ١ - التحول آلية

-٢ التحول نوبات تكون عملية

٣- عملية نمو النويات وتكوين التركيب النهائي . [1]

إن أهمية التحولات الطورية في السبائك والمعادن لها أهمية كبيرة في تحسين الفولاذ عالي المtanah. وهذا ما شجع الكثير من الباحثين في دخول هذا المجال الواسع الذي يرتبط بكثير من العمليات التكنولوجية المتعلقة بالتركيب البنوي والآلية للتبلور [2] كذلك يتعلق بآلية الزحف (creep) والاجهادات الناتجة من عمليات اكتساب الحرارة وفقدانها وفق نظام معين.

وتكون تلك التحولات أكثر تعقيداً عند توفر عدد من العناصر السبائكية فيها وخاصة في نسبها العالية . [3] إن لاصفافة الكروم اثر واضح على خواص الفولاذ ، كما إن التركيب الكيميائي عموماً يلعب دوراً هاماً في

تركيب السبانك ومن ثم خواصها المختلفة وسلوكها عند التسخين والتبريد . [4]

إن الكروم يلعب دوراً مهماً في عملية التحول الطوري خاصة عندما تزيد نسبة الفولاذ عن (7.5%) (بالوزن) حيث يسهل تحول التركيب إلى المارتنسيت مما يؤدي إلى تحسين مطيلية الفولاذ [5].

إن معظم سبائك الحديد عالية الكروم والكريون تمتلك قابلية عالية على التحولات من حالة الاوستينيت - في درجات الحرارة العالية إلى عدة أطوار تختلف في تركيبها البنائية وخصائصها الميكانيكية إن تلك التحولات تكتب أهمية كبيرة، حيث أن التركيب الاوستينيتي ذا النظام البلوري FCC يكون مستقرا فوق درجة حرارة (910) °C (شكل 1) باستعمال المعاملات الحرارية المناسبة لاحقاً. تجدر الإشارة إلى أن تركيب حديد (X) يحاول الاستقرار بوجود الكروم وهو استقرار نسبي لأنه يقع ضمن الحالة المغلقة لحديد (X).

أن تكون الاوستناتيت عند التسخين بوجود نسبة كروم (13.5)% يتسع مداه كلما زادت نسبة الكاربون معه [6]. ومن الطبيعي هذه السبائك أن نسبة الذوبان الكروم في الحديد (α) تصل (12)% كما يذوب بلا حدود في حديد (α).

ويُعرف الكروم درجة التحول اليوتكتوبيي (A1)-[9-8]. إن لعنصر الكروم ثلاثة أدولار رئيسية في الحديد المصوب :-

## ١- تكوين الكربادات

٢- المحافظة على استقرار التركيب في درجات الحرارة العالية.  
٣- زادة مقاومة التأكل الكيميائي، والاحت.

إن أنواع الكربيدات وعلاقتها ببنسبة الكروم والكربون كذلك بينها وبين درجات الحرارة ، ففي النسب العالية تكون كاربيدات من أنواع (Cr<sub>3</sub>M7C3) وكذلك (M3C) [11-12].

إن أهم التحولات الطورية التي تحدث في البيكهة عالية الكروم عند التبريد بسرعة عالية هي التحول المارتنسيتي الذي يبدأ في درجة حرارة (Ms)، [14 - 16] ويستمر هذا التحول عند زيادة نسبة الكاربون أو بزيادة نسب عنصر البيكهة كما في المعادلة (1):

$$Ms=561-474(C\%)-33(Mn\%)-17(Ni\%)-17(Cr\%)-21(Mo\%) \quad (1)$$

وتكون سبيكة (Fe-Cr) عالية الكاربون قابلة للمعاملات الحرارية وتحسين خواصها [17]،  
و عند انخفاض درجة الحرارة دون (200)°م يأخذ المارتنسيات شكلاً مسطحاً أو متشابكاً وقد يستمر التحول  
المارتنسيات إلى درجات حرارة أعلى [15].

ويعتبر التحليل الحراري أبسط طرق فحص التحولات الطورية وأكثرها استعمالاً في التسخين أو التبريد البطيء لبيان معرفة التركيب الكيميائي، لذلك تم اختيارها طرقة الفحص، لهذا البحث

تكوين مخططات الأطوار:

إن المعلومات اللازمة لتكوين أو رسم مخططات الأطوار يمكن الحصول عليها بعدة طرق أو (تقنيات):

#### ١- التحليل الحراري (THE NAL ANALYSIS)

- ٢- الدراسات الميكروسكوبية (MICROSCOPIC STUDIES).  
 - ٣- الفحص بأشعة (X). (X-RAY DIFFRACTION).

ويعتبر التحليل الحراري ابسط تلك الطرق وأكثرها استعمالاً في التسخين الطبيعي أو التبريد الطبيعي لسبائك معروفة التركيب الكيماوي وأثناء قياس دقيق درجات الحرارة للسيكة بفترات زمنية مناسبة، ولذلك تم اختيار طريقة التمدد لتحديد مخططات الأطوار (Delatometric).

ويمكن الحصول على مخطط يبين تغير درجة الحرارة مع الزمن، أي أن أي تغير في اتجاه المخطط (المنحنى) يمثل تغير في الطور في تلك الدرجة. ويمكن تحويل مخططات (درجة الحرارة- الزمن) إلى مخططات أكثر وضوحاً تشمل العلاقة بين سرعة التبريد والاستطالة النسبية. وبرسم خطوط بداية ونهاية التحول في الطور يمكن تحديد حدود مجال التحول ألطوري. كما ويمكن تحديد درجات حرارة حدوث التحولات الطورية في السيكة ويعرف المارتنسيات بأنه محلول صلب لحديد (α) يحتوي على نسبة من الكاربون تفوق الإشباع. تكون صلابته عالية جداً خاصة عندما يحتوي على توزيع متجانس من الكربيدات كما في حالة السيكة (BC 18). ويحدث التحول المارتنسياتي للأوستنیات عادة في درجات حرارة تقل كثيراً عن درجة حرارة التحول اليوتكتوبي، عندما تزيد سرعة تبريد الاوستنیات عن سرعة التبريد الحرجة للتحول اليوتكتوبي ولا تعتبر عملية تكوين المارتنسيات عكسية إذ لا يتحول اوستنیات مره ثانية عند تسخينه إلى درجات حرارة أقل من درجة حرارة التحول اليوتكتوبي.

ويبدأ التحول المارتنسياتي عند درجة الحرارة (MS) التي ترمز إلى بداية ذلك التحول [14,16]. ويستمر التحول المارتنسياتي للأوستنیات على مدى واسع نسبياً من درجات الحرارة. وتختفي درجة حرارة بداية التحول المارتنسياتي عند زيادة نسبة الكاربون أو بزيادة عناصر السيكة كما في المعادلة التالية [15] :

$$MS(C^\circ) = 561 - 474(C\%) - 33(MN\%) - 17(NI\%) - 17(CR\%) - 21(MO\%) \quad \dots(2)$$

#### المواد والطرق المستخدمة :

تضمن هذا القسم من البحث مجموعة من الفحوصات التي أظهرت النتائج الواردة في أدناه.

#### عملية صهر السيكة وفحص تركيبها:

لقد تمت عملية صهر سيكة الحديد عالية الكروم نوع (BC 18) في فرن حث كهربائي متوسط التردد (induction furnace coreless Medium Frequency) ذي تردد (400 - 600) هيرتز تتراوح (3.5 - 4) ميجاواط. وبعد صهر شحنة المواد تؤخذ عينة أولية من المنصهر وتصب في قالب نحاسي بشكل أفراد ذات قطر (30) ملم تقريباً ليتم تحليل تركيبها الكيميائي بجهاز التحليل الطيفي وعند معرفة تركيب السيكة المصهورة تحسب كميات المواد المراد إضافتها لتحقيق التركيب الكيميائي المطلوب من سبانك الكروم الموليبدينوم والمنغنيز والسيلكون مع الحديد. وعند إتمام عملية الصهر يؤخذ نموذج جديد من السيكة لفحصه والتأكد من مطابقة تركيبه للنسب المطلوبة. وقد تحدث بعض التغيرات السيطرة بين صهره وأخرى وضمن حدود المسموح بها. وفي الجدول رقم (1) يظهر نتيجة تحليل التركيب الكيميائي لسيكة الحديد - عالية الكروم (BC18) المستعملة في البحث.

#### عملية فحص التمدد (Dialatation)

لتحديد نقاط التحول الطوري لسيكة الحديد. كروم 18 BC تحدث في سيكة الحديد. كروم نوع 18 BC تحولات طورية عديدة في تركيبها المجهري أثناء تسخينها وتبریدها بسرع مختلفة. وقد استعمل جهاز فحص التمدد (Dilatometer) نوع (402ES 3/6) إنتاج شركة Geratebau لعرض تسجيل التغير الحاصل في طول النموذج المستعمل لهذا الغرض والذي تكون أبعاده الأولية : (الطول 50 ملم والقطر 5.5 ملم) أثناء عملية التسخين أو التبريد بسرعة معينة.

وتتجدر الإشارة إلى إن الأحادي الأفقي في المنحني الذي يرسمه الجهاز يمثل الزمن في حين يمثل الأحداثي الشاقولي درجة الحرارة م عبر عنها بوحدات فرق الجهد ( ملي فولت) والتغيير بالطول ( ميكرون)، كما يتضح في الشكلين (4,5) ومنها يمكن معرفة وقت التحول الطوري. ومن أجل تحديد واضح لنقطات التحول فقد تم تحويل تلك المنحنيات بالاستعانة بجدائل خاصة إلى منحنيات أخرى يمثل الأحادي الأفقي فيها درجة الحرارة والشاقولي يمثل مقدار التمدد النسبي للنموذج المستعمل في الفحص.

ويتضح من خلال الأشكال (10-6) مواقع التحولات الطورية الحاصلة في هذه السيكة عند التسخين والتبريد بسرعة (2، 10، 20، 50 و 100) °م/ الدقيقة. وللزيادة في توضيح موقع درجات حرارة التحول الطوري عند التسخين والتبريد لسيكة الحديد - كروم (BC 18) فقد نظمت في الجدول رقم (2). وقد تم تصنيع نماذج فحص

التمدد لتحديد بداية ونهاية التحولات الطورية من أجزاء مصبوبة من سبيكة الحديد- كروم نوع (BC 18) وذلك بعملية التشغيل بالمخرطة للحصول على الأبعاد القياسية المطلوبة والملائمة للفحص ، حيث كان طول كل نموذج (50) ملم وقطره يتراوح بين (5-5.5) ملم توضع في فرن التسخين العائد لجهاز الفحص ويربط مع النموذج مزدوج حراري (Thermocouple) متصل بمنظومة لرسم منحني يمثل الاحداثي الشاقولي درجات الحرارة المعيّر عنها بوحدات فرق الجهد (Microvolt) وكذلك التغير الحاصل من طول النموذج (Micron) ويمثل الاحداثي الأفقي الفترة الزمنية (بالدقيقة) .

#### النتائج:

لقد أمكن التوصل إلى النتائج التالية من خلال هذا البحث وكما يلي :

- ١- تحديد بداية ونهاية التحولات الطورية في سبيكة الحديد عالية الكروم موضوعة البحث أثناء التسخين والتبريد بمعدلات سرع مختلفة (2، 10، 20، 50، 100) °م / الدقيقة وكما مؤشر في الجدول (2) .
- ٢- إن درجة حرارة بداية ونهاية التحول إلى الاوستنait أثناء التسخين ازدادت بزيادة سرعة التسخين .
- ٣- إن فترة التحول إلى الاوستنait عند التسخين قلت بزيادة سرعة التسخين .
- ٤- إن درجات حرارة بداية ونهاية التحولات الطورية عند التبريد بمعدلات التبريد المشار إليها في الفقرة (1) أعلىه قلت بزيادة سرعة التبريد .
- ٥- إن الفترة الزمنية للتحولات الطورية أثناء التبريد قلت كذلك بزيادة سرعة التبريد .
- ٦- يمكن تحديد التحولات الطورية الحاصلة عند التبريد بأنها تحولات إلى محلول  $\alpha$ -Cr (في التبريد بطيء السرعة وظهور التحول اليونكتودي وكذلك تكون كربيدات الكروم أو الحديد كروم أو الحديد كروم عند سرع التبريد المتزايدة (10-50) °م / الدقيقة إلى جانب وجود نسبة من بقايا الاوستنait .
- ٧- عند التبريد بمعدل (100) °م / الدقيقة بدء التحول المارتنسيتي في درجة (144) °م / الدقيقة وانتهى في درجة حرارة (55) °م كما يتضح من المنحني واستغرق فترة 43.5 دقيقة، حيث لا يحدث تحول غيره في هذه الدرجة الحرارية الواطنة وقد تميز هذا التحول إلى المارتنسيت بالتمدد كما يظهر من المخططات المبينة في نهاية البحث حيث تميزت بقية التحولات الحاصلة بالانقلاب أثناء التبريد .

#### مناقشة النتائج:

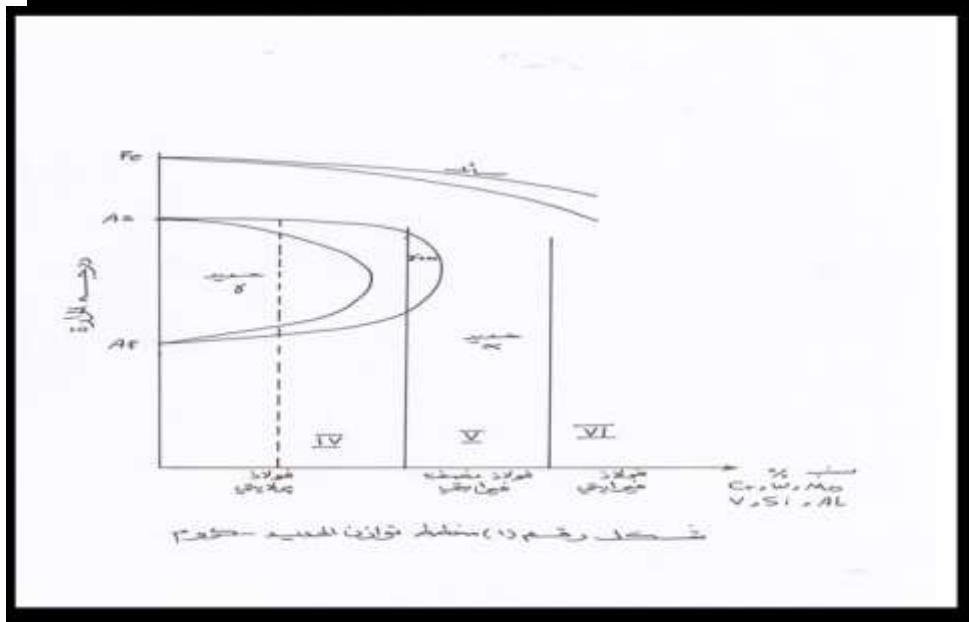
إن أهمية تحديد نقاط التحولات الطورية تحت مكانة عالية في تحسين مواصفات الفولاذ وخاصة متانة الشد والصلادة بعد المعاملات الحرارية التي هي ليست ضمن مجال بحثنا. لقد وجد العديد من الباحثين مجال واسعاً للبحث في تركيب الفولاذ وخواصه والعمليات التكنولوجية اللازمة للحصول على الخواص المطلوبة . ولا يزال البحث مستمر لتحسين خواص الفولاذ عالي المتانة . وفي هذا المجال تم تخصيص التركيب المجهي المراد تحسينه وتحديد ديناميكية وإلاية التحولات الطورية وعمليات التبلور الحاصلة جرائها . إن تسخين هذه السبيكة بالمعدلات (2-100) °م / دقيقة إلى درجات حرارة (950) °م أو أعلى قليلاً تؤدي إلى تحولها إلى الاوستنait أو محلول  $\alpha$ -Cr حسب نسب الكربون والكروم كما مبين في الشكل (1). كثير من الاجهادات تكون مسؤولة عن الأشكال المهمة ل التركيب الناتج . لم يحدد الباحثون التأثيرات الحرارية الميكانيكية لعملية التحول الطوري إن تحول الاوستنait يزيد من الخواص الميكانيكية للسبيكة وطريقة تكون النواة الأولى وبداية التحول المارتنسيتي (Ms) بالنسبة لدرجة الحرارة بعد عملية التحول [16] وإن هذا التحول يصاحبه انقلاب في الطول أو الحجم لأن كثافة الاوستنait أكثر من كثافة بقية نواتج التحولات من الأطوار، في حين يحصل التمدد عند التحول المارتنسيتي وكما يظهر بوضوح في المنحنيات التي أمكن الحصول عليها نتيجة فحص التمدد (Dilatometric tests) وعلى ضوء هذه النتائج يمكن تحديد أنواع وسائل تبريد السبيكة (أي تحديد معدل سرعة التبريد) لغرض الحصول على التركيب المطلوب وذلك بالمعاملات الحرارية كما يمكن تقليل نسبة الاوستنait المتبقى بمراجعة السبيكة بعد تصديرها ، في درجات حرارة مناسبة تسمح لبقايا الاوستنait بالتحول إلى المارتنسيت وإزالة الكثير من الاجهادات الداخلية التي تسبب تشوهات في التركيب البلوري للسبيكة وبذلك تتحقق حالة أكثر استقرارا في التركيب البنوي لهذه السبيكة مع الاحتفاظ بخواص ميكانيكية عالية.

**جدول رقم (1) التركيب الكيميائي لسبيكة الحديد - \* كروم (BC 18) بنسب وزنية**

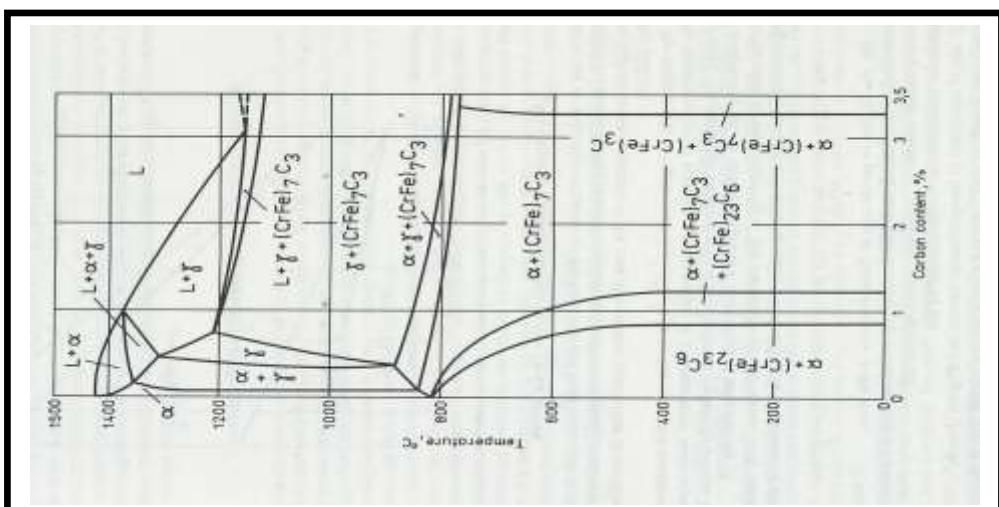
C	Si	Mn	Cr	Ni	Mo	Cu	P-S	V	Al	العناصر
2.45	0.93	0.45	14.7	0.22	0.35	0.22	0.033	0.05	0.002	نسبة%

جدول (2) نتائج الفحص بجهاز التمدد بين بداية ونهاية التحولات الطورية

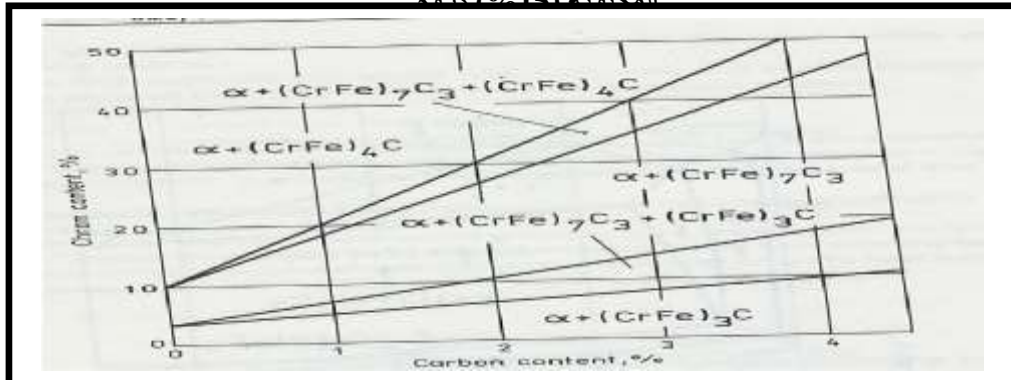
نوع السبيكة	سرعة التسخين °/م	سرعة التبريد °/م	التحولات			أثناء التسخين			أثناء التبريد		
			درجة بداية التحول °م	درجة نهاية التحول °م	طول فترة التحول دقيقة	درجة بداية التحول °م	درجة نهاية التحول °م	طول فترة التحول دقيقة	درجة بداية التحول °م	درجة نهاية التحول °م	طول فترة التحول دقيقة
BC 18 حديد عالي الكروم	2	2	804	851	20.5	777	736	23.5			
	10	10	819	866	4.5	758	690	7.0			
	20	20	833	888	2.25	742	679	4.0			
	50	50	847	918	1.0	722	656	3.75			
	---	100	----	---	---	144	55	43.5			



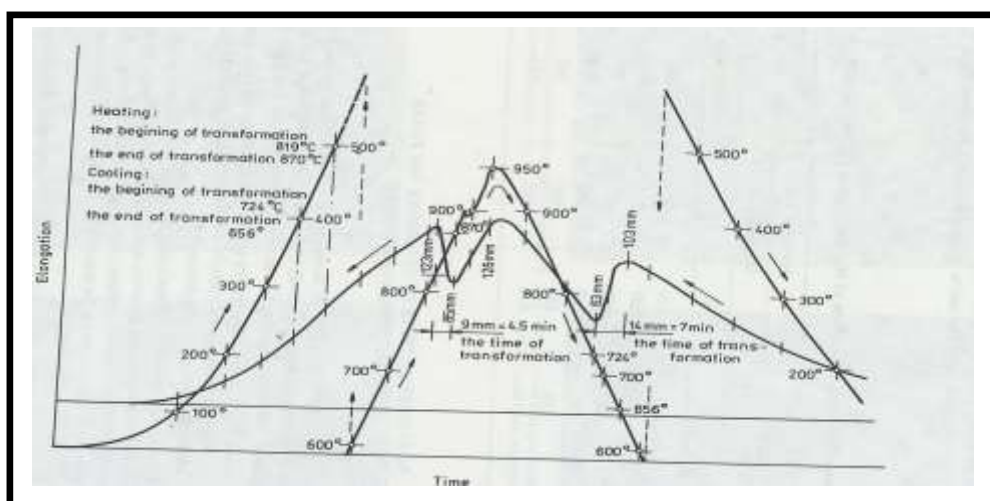
شكل رقم (1) العلاقة بين الحديد والكروم



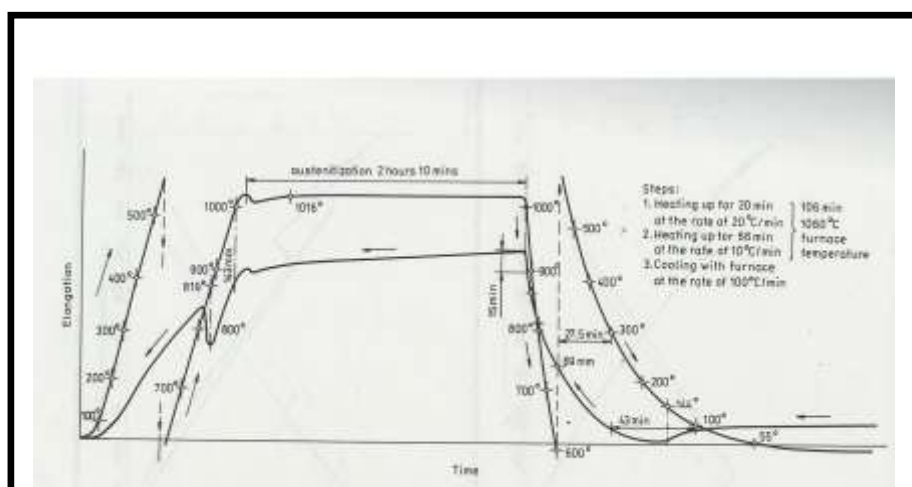
شكل رقم (2) تأثير نسبة الكربون ودرجة الحرارة على نوع الكربيدات المتكونة والتركيب الأساسي للسيبيكة  
المختتمة (15%) كـ°C



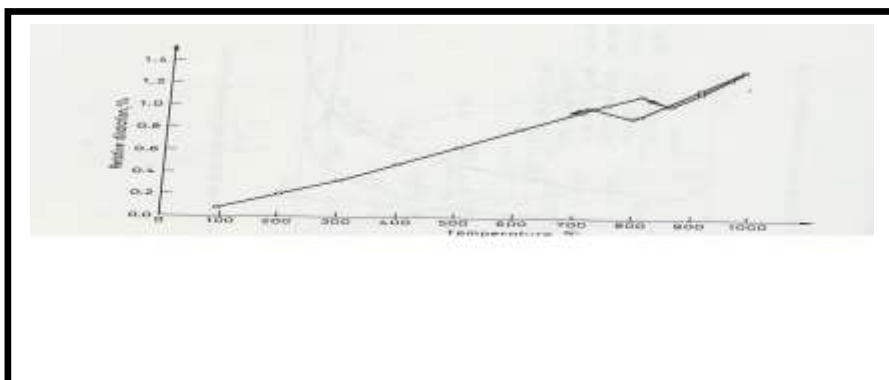
الشكل رقم (3) العلاقة بين نسبة الكروم والكربون وأنواع الكربيدات المكونة في تركيب السيبيكة . (Fe-Cr-C)



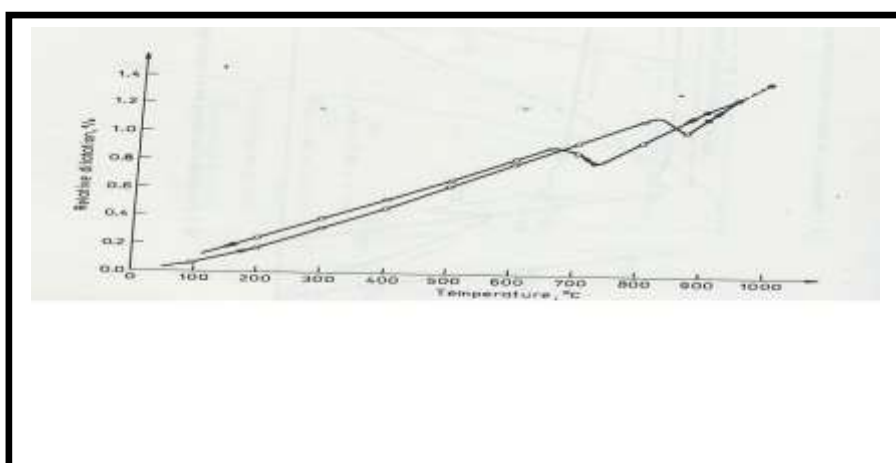
شكل رقم (4) تحديد نقاط التحول الطوري للسيبيكة (Be18) عند التسخين والتبريد بمعدل  
م / دقيقة . (10)



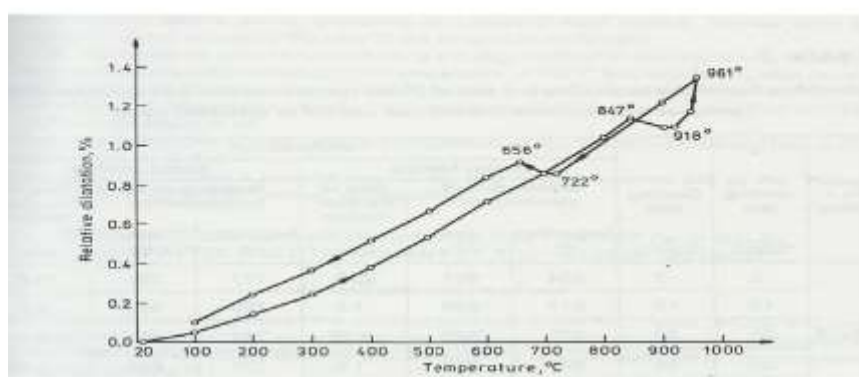
شكل رقم (5) تحديد نقاط التحول الطوري للسبائك (Bc18) عند التسخين كما مبين أعلاه والتبريد بمعدل (100) م°/ دقيقة .



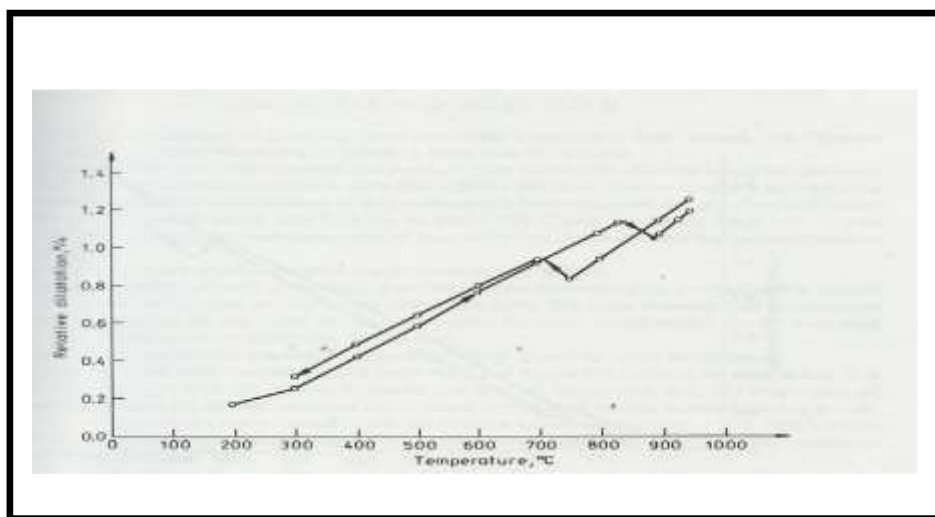
شكل رقم (6) منحنى التمدد عند التسخين والتبريد للسبائك (Bc18) بمعدل (2) م°/ دقيقة .



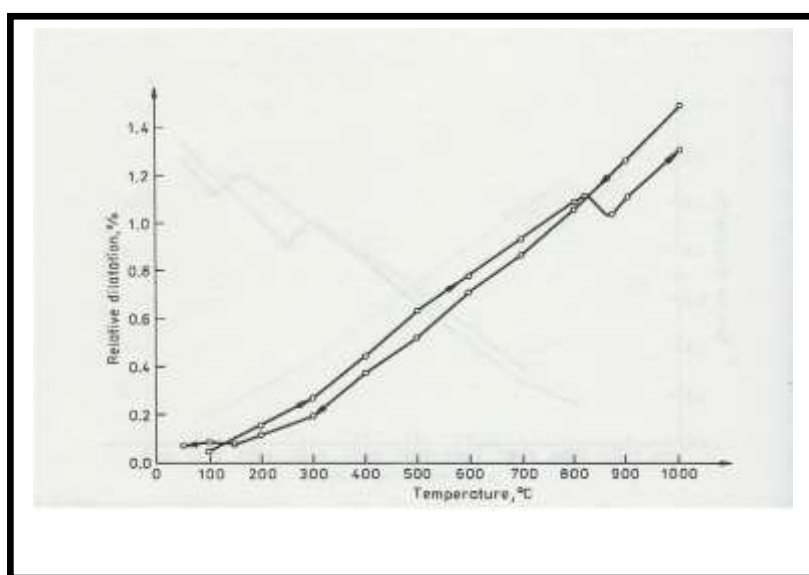
شكل رقم (7) منحنى التمدد عند التسخين والتبريد للسبائك (Bc18) بمعدل (10) م°/ دقيقة



شكل رقم (8) منحنى التمدد عند التسخين والتبريد للسبائك (Bc18) بمعدل (20) م°/ دقيقة



شكل رقم (9) منحنى التمدد عند التسخين والتبريد للسبائك (Bc18) بمعدل (50) م° / دقيقة .



شكل رقم (10) منحنى التمدد عند التسخين والتبريد للسبائك (Bc18) (Bc18) بمعدل (100) م° / دقيقة

## REFERENCE

- [1]. F.Liu ,F. Sommer /Analysis of solid state phase trans. Kinetics/2014  
[2].LIEVEN Bracker and Greet-Springer-Influence of phase transformation on Mechanical properties of high-strength-Ausrenitic Fe-Cr-Mn steel-2014.  
[3].Link Springer.com/10-1007-Influnce of Cr on phase transformation of martinsite.-2013  
[4].PTM-WWW-Brager masrter org.-solid-solid phase transformation in inorganic material – PTM- 2015  
[5]. Metaoznawstwo – Czwsc. II - Karol przybylowicz – Krakow 1982 . p.157

## المصادر

- [6]. Production of Ferroalloys – M.Riss – Moscow 1976 . p.169 .
- [7]. Alloy cast irons Metal – Handbook – 9ted . ASM vol.1 p.75 .
- [8]. Wysoko chromowa p.638 Metaloznastwo I odlewnictwo Zeliwa – CZ.Podrzucki ICZ. Kalata – Wyd. II – 1976.
- [9]. Metal Process Engineering – p. Polikhin – Mir Publisher – Moscow 1973. P.112 .
- [10]. Heat treatment of Ferrous alloys – charli R. , Brooks . New York – London – 1979 – p.29.
- [11]. The physical metallurgy of steels – Leslie International Student Edition – London – Tokyo- 1982- p.211 .
- [12]. Engineering physical Metallurgy – Prof. Lakhtin – Mir. Publischer – Moscow – p.151 .
- [13] – Steel Topics – High Chrom Steels – Quench hardening of steel 2009- UK.
- [14] – Stainlees steel – T.Sourmail –Filellg –Stainlees steel .htm.
- [15]. Transactions of the foundry Research inst. – Tom xl 11 - 1992 J.pioskowski and Khidhair J. Mohammed. (( Nasser Method of heat treatment of grinding balls cast in Fe – Cr alloy (Bc 18) .
- [16].Khidhair Jasim. Influence of heat treatment on hardness and microstructure of high (Cr-iron) alloy. \_S.J.P.U of Tech. vol27- No-9-2009-baghdad.
- [17] . wood head publishers conclusion about phase transf. / 2012 .